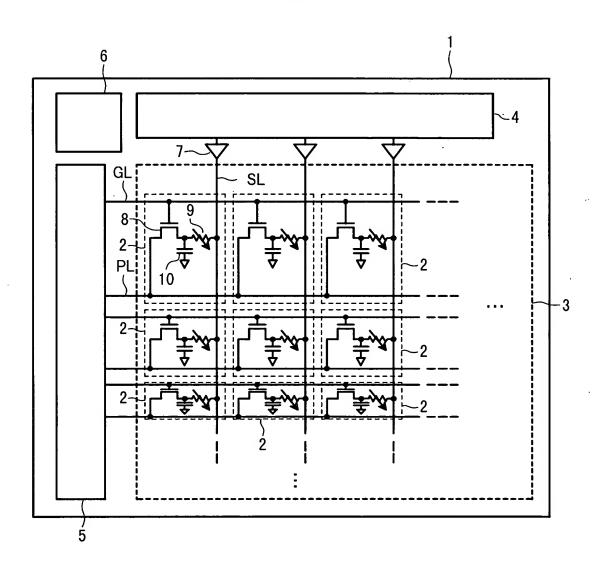
SHIBA et al Page 1 of 17 NITT.0185

FIG.1



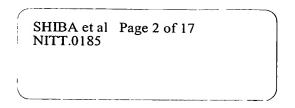


FIG.2

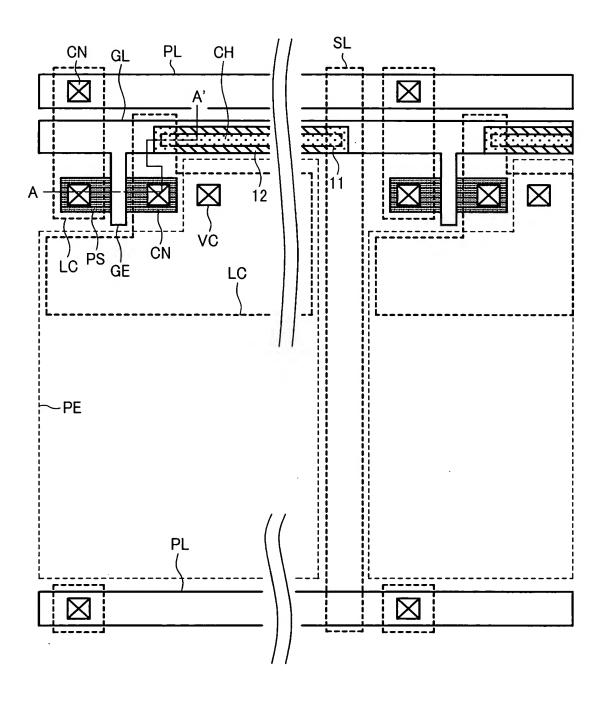
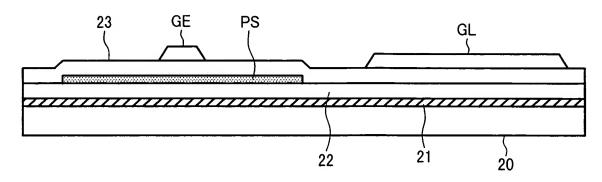
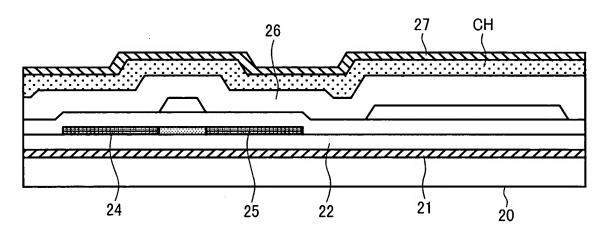
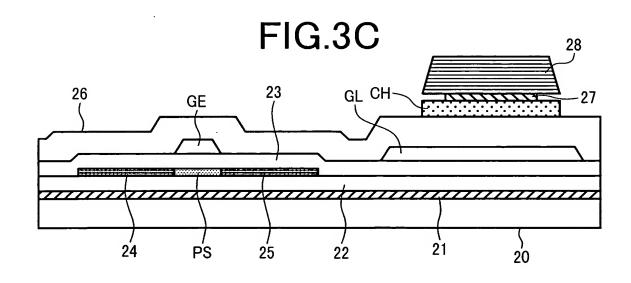


FIG.3A



## FIG.3B





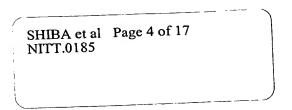


FIG.3D

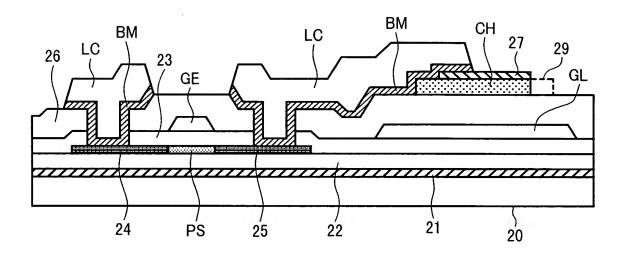
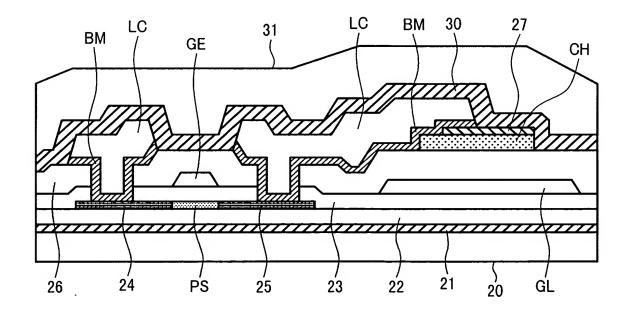


FIG.3E



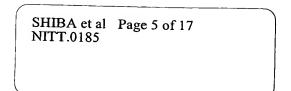


FIG.4

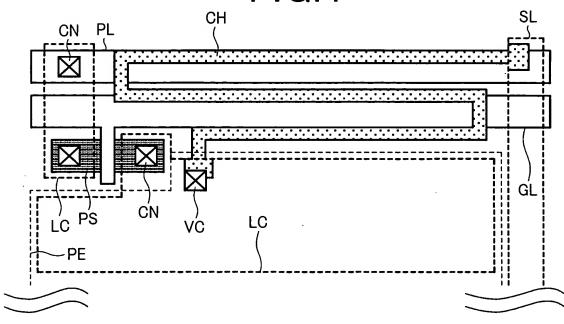
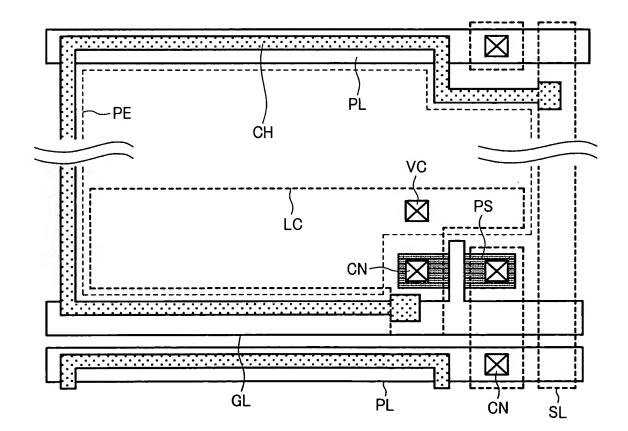
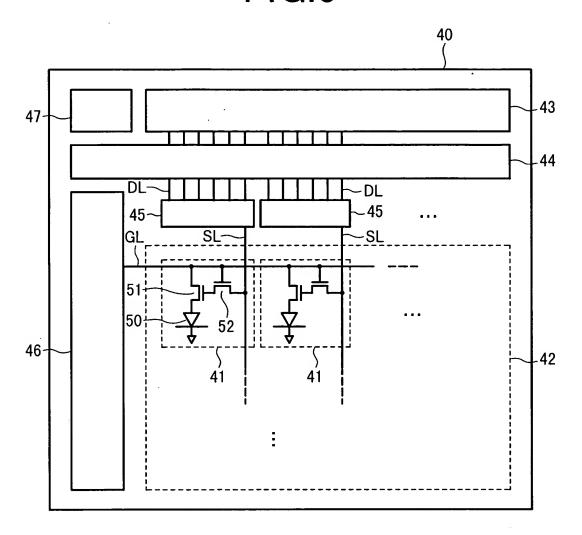


FIG.5



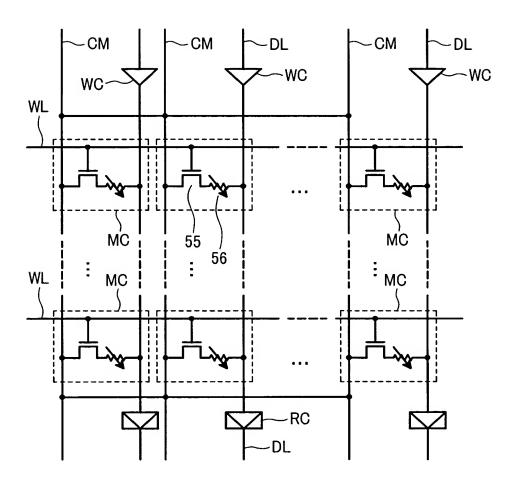
SHIBA et al Page 6 of 17 NITT.0185

FIG.6



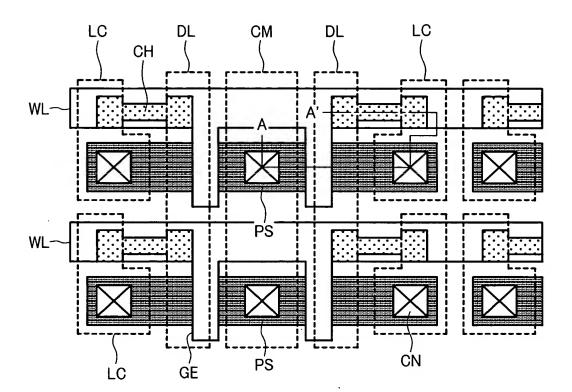
SHIBA et al Page 7 of 17 NITT.0185

FIG.7



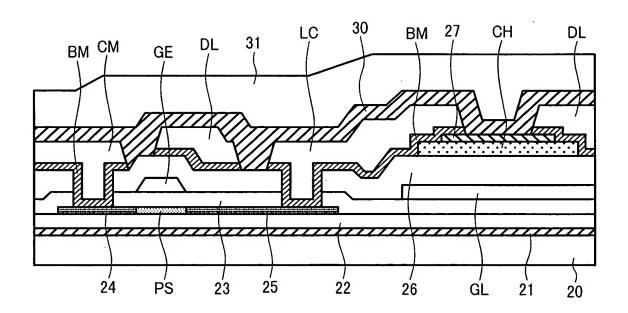
SHIBA et al Page 8 of 17 NITT.0185

FIG.8



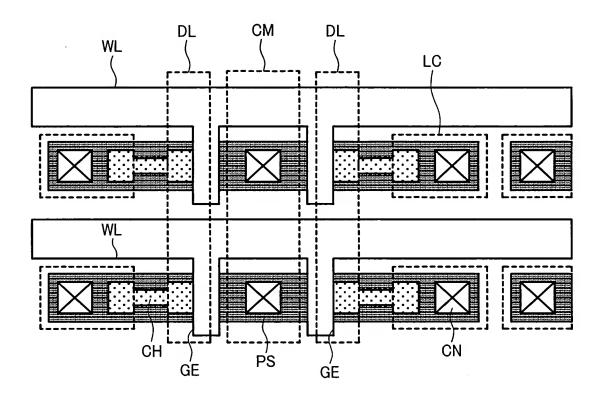
SHIBA et al Page 9 of 17 NITT.0185

FIG.9



SHIBA et al Page 10 of 17 NITT.0185

**FIG.10** 



**FIG.11** 

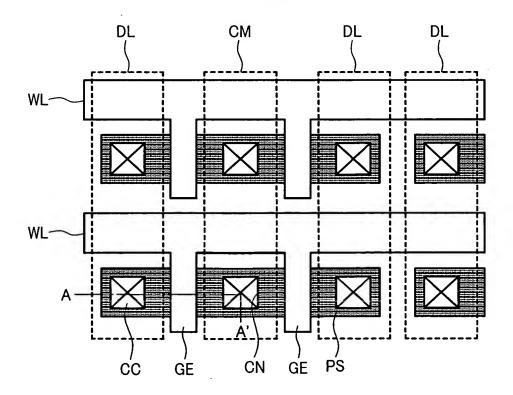


FIG.12A

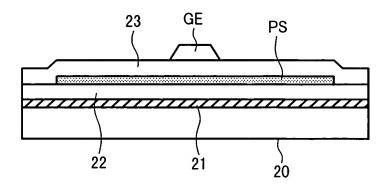


FIG.12B

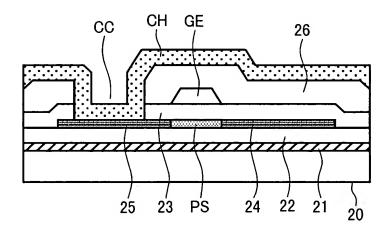
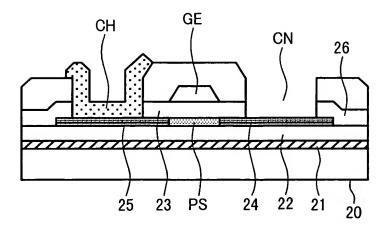


FIG.12C



SHIBA et al Page 12 of 17 NITT.0185

FIG.12D

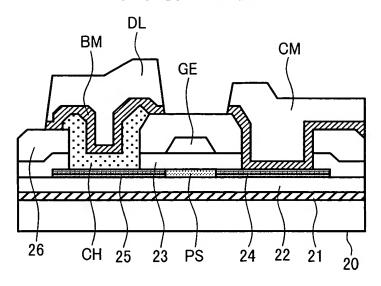
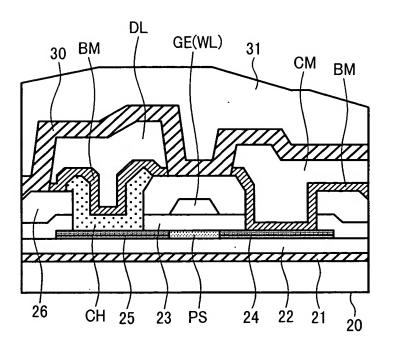


FIG.12E



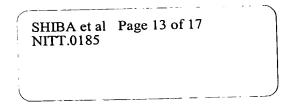
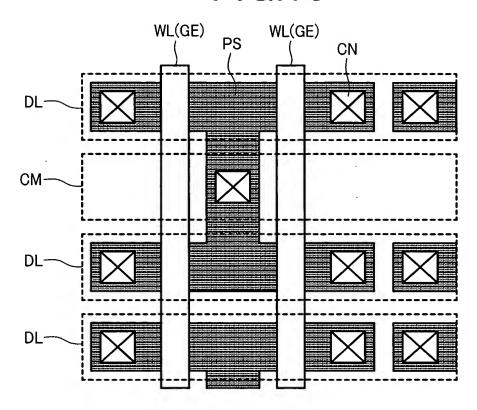
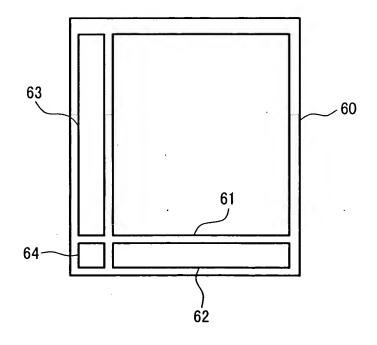


FIG.13

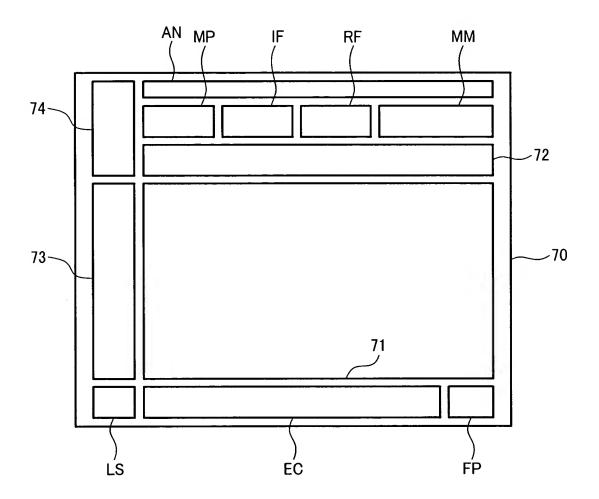


**FIG.14** 



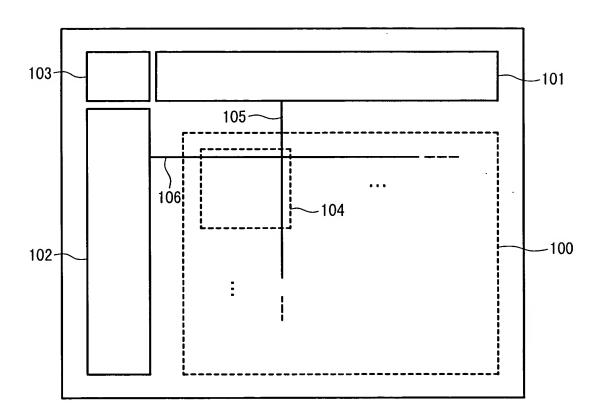
SHIBA et al Page 14 of 17 NITT.0185

**FIG.15** 



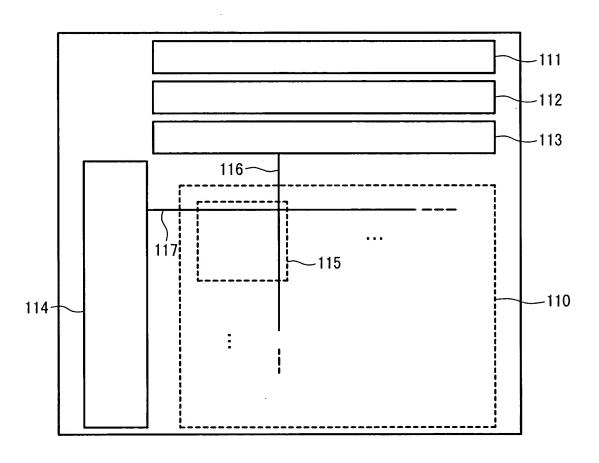
SHIBA et al Page 15 of 17 NITT.0185

**FIG.16** 



SHIBA et al Page 16 of 17 NITT.0185

FIG.17



SHIBA et al Page 17 of 17 NITT.0185

FIG.18

